

8512

ОБЪЕДИНЕННЫЙ
ИНСТИТУТ
ЯДЕРНЫХ
ИССЛЕДОВАНИЙ

ДУБНА



8512

Экз. чит. зал

P2 - 8512

Г.И.Копылов, М.И.Подгорецкий

ИНТЕРФЕРЕНЦИЯ ДВУХЧАСТИЧНЫХ СОСТОЯНИЙ
В ФИЗИКЕ ЭЛЕМЕНТАРНЫХ ЧАСТИЦ
И В АСТРОНОМИИ

1975

P2 - 8512

Г.И.Копылов, М.И.Подгорецкий

ИНТЕРФЕРЕНЦИЯ ДВУХЧАСТИЧНЫХ СОСТОЯНИЙ
В ФИЗИКЕ ЭЛЕМЕНТАРНЫХ ЧАСТИЦ
И В АСТРОНОМИИ

Направлено в ЖЭТФ

**Научно-техническая
библиотека
ОИЯИ**

S u m m a r y

There can be two kinds of observation of the two-particle state interference. One can measure the difference between the moments of arrival of two like particles at detectors and the difference between their coordinates. This is the space-time experiment (I) used in astronomy. Instead of it, one can measure the differences between the energies of like particles and also between their momenta. This energy-momentum experiment (II) can be used in particle physics. Both can give us the space parameters (dimensions) of the region in which the particles are produced: star in I and excited multiple production volume in II. But the time parameters obtained in I and II do not coincide. We analyse this difference in §§ 1,2 and show that it appears due to different phase expressions: (12) in I and (12') in II. The probability of the effect is (16) for I and (8) for II. At the end we propose the experiment which in one limit comes into I and in the opposite case into II (§ 3).

§1. Импульсно-энергетические корреляции

1. В наших предыдущих работах^{/1-3/}, а также в работах^{/4,5/} было показано, что наблюдение импульсно-энергетических корреляций пар тождественных частиц позволяет определить пространственно-временные характеристики процесса генерации. Целью настоящей статьи является дальнейшее рассмотрение возможных применений этого явления в ядерной физике и его сопоставление с корреляциями пар фотонов, используемыми в известном методе Брауна-Твисса для измерения углового диаметра звезд /см., например,^{/6,7/} /.

При испускании пары тождественных частиц /для определенности, пионов/ двумя точечными излучателями 1 и 2 со временем жизни τ , включаемыми в моменты t_1 и t_2 и разнесенными в пространстве на расстояние $\vec{r}_1 - \vec{r}_2$, вероятность наблюдения частиц с импульсами $p_3 = \{\omega_3, \vec{p}_3\}$ и $p_4 = \{\omega_4, \vec{p}_4\}$ определяется в соответствии с равенством^{/2/}

$$W \approx \left| \frac{e^{ip_3 r_{13} + i\omega_3 t_1}}{\omega_3 - \omega_1 + i\Gamma/2} \frac{e^{ip_4 r_{24} + i\omega_4 t_2}}{\omega_4 - \omega_2 + i\Gamma/2} + \frac{e^{ip_4 r_{14} + i\omega_4 t_1}}{\omega_4 - \omega_1 + i\Gamma/2} \frac{e^{ip_3 r_{23} + i\omega_3 t_2}}{\omega_3 - \omega_2 + i\Gamma/2} \right|^2.$$

/1/

Здесь $\Gamma = \hbar/\tau$ - энергетическая ширина каждого из излучателей, а ω_1 и ω_2 - средние значения энергий излучаемых ими частиц. Если величины ω_1 и ω_2 могут варьироваться и распределены равномерно в достаточно широком энер-

гетическом интервале, то /1/ следует проинтегрировать по ω_1 и ω_2 . Тогда получается выражение *

$$W \approx 1 + \frac{\cos[\vec{q}(\vec{r}_1 - \vec{r}_2) - q_0(t_1 - t_2)]}{1 + (q_0 \tau)^2}, \quad /1/$$

в котором $q_0 = \omega_3 - \omega_4$ и $\vec{q} = \vec{p}_3 - \vec{p}_4$. Измерение зависимости W от разностей \vec{q} и q_0 дает возможность определить параметры $\vec{r}_1 - \vec{r}_2$ и $t_1 - t_2$.

Аналогичная возможность остается и в том случае, когда частицы испускаются не двумя излучателями, а целой их совокупностью, распределенной в достаточно узком интервале пространства-времени. Пусть, например, излучатели распределены равномерно внутри эллипсоида с полуосями A, B и C , параллельными координатным осям x, y и z ; предположим также, что все излучатели "включаются" в один и тот же момент $t=0$, причем время их жизни τ очень велико по сравнению с размерами эллипсоида. Тогда в соответствии с /2/

$$W \approx 1 + \frac{I^2(\vec{q})}{1 + (q_0 \tau)^2}, \quad /2/$$

где

$$I(\vec{q}) = 3(\sin \rho - \rho \cos \rho) / \rho^3, \quad /3/$$

$$\rho^2 = (q_x A)^2 + (q_y B)^2 + (q_z C)^2. \quad /4/$$

Пусть моменты включения излучателей равномерно распределены в промежутке времени $(-T, T)$. Тогда /2/ переходит в

$$W \approx 1 + \frac{I^2(\vec{q})}{1 + (q_0 \tau)^2} \left[\frac{\sin q_0 T}{q_0 T} \right]^2. \quad /5/$$

* См. формулу /63/ в работе /3/. Здесь и в дальнейшем величины h и c положены равными единице.

2. Последняя формула содержит два характерных интервала времени: T и τ . Первый связан с длительностью процесса образования возбужденной системы, второй характеризует длительность ее существования. В принципе, формула /5/ позволяет определить параметры T и τ порознь. Наряду с T и τ существует еще третий временной параметр, характеризующий процесс множественного рождения: время t^L , в течение которого родившиеся частицы пробегают возбужденный объем /см. также /5/ /. Для того, чтобы оценить его роль, представим себе, что $t^L \gg \tau$, а $T = 0$. Тогда волновые пакеты, создаваемые излучателями, находящимися в передней и задней /относительно направления наблюдения \vec{n} / частях возбужденного объема, не смогут интерферировать: пока задний пакет добежит до точки образования переднего, последний исчезнет. Для количественного анализа этого эффекта надо отказаться от использованного нами ранее упрощающего предположения о том, что время жизни τ велико по сравнению с размерами излучающей системы.

Пусть излучатели распределены в области вблизи начала координат по закону

$$U(\vec{r}) \sim \exp \left[-\frac{1}{2} \left(\frac{x^2}{A^2} + \frac{y^2}{B^2} + \frac{z^2}{C^2} \right) \right].$$

Воспользуемся формулами /57/ и /58/ из работы /3/ и проинтегрируем /1'/ по всему пространству с весом $U(\vec{r}_1) U(\vec{r}_2)$. Тогда мы опять придем к формуле /2/, но в ней теперь

$$I^2(\vec{q}) = \exp \left[- (q_x^2 A^2 + q_y^2 B^2 + q_z^2 C^2) \right]. \quad /6/$$

Предположим, что интересующие нас узкие пары частиц наблюдаются в направлении оси z . Учтем также, что при $\vec{p}_1 \approx \vec{p}_2$ величина $\vec{q}_0 = \vec{q} \vec{v}$, где \vec{v} - скорость частиц ($\vec{v}_1 \approx \vec{v}_2 \approx \vec{v}$); поскольку \vec{v} имеет только одну компоненту v , выполняется равенство $q_z = q_0 / v$. Входящую в /6/ величину $q_z^2 C^2$ можно теперь представить в виде $q_0^2 (t^L)^2$, где $t^L = C / v$. Следовательно, формула /2/ с учетом /6/ принимает вид

$$W \sim 1 + \frac{\exp[-q_x^2 A^2 - q_y^2 B^2 - q_0^2 (t^L)^2]}{1 + (q_0 \tau)^2} \quad /7/$$

Интерференционный член в области $q_0 \sim 1/\tau$ действительно исчезает, если $t^L \gg \tau$. Если ввести еще параметр T , то /7/ переходит в

$$W \sim 1 + \frac{\exp[-q_x^2 A^2 - q_y^2 B^2 - q_0^2 (t^L)^2]}{1 + (q_0 \tau)^2} \left(\frac{\sin q_0 T}{q_0 T} \right)^2 \quad /8/$$

Теперь интерференция в области $q_0 \sim 1/\tau$ имеет место только при выполнении условий $\tau \gg t^L$ и $\tau \gg T$.

Вращая плоскость пары вокруг оси \vec{n} , меняя направление \vec{n} , варьируя скорость v отбираемых частиц, можно определить все параметры, входящие в /8/. К сожалению, при современной точности эксперимента, скорей всего, удастся оценить только некоторое эффективное время, близкое к $[\tau^2 + (t^L)^2 + T^2/3]^{1/2}$, и средний радиус области взаимодействия. Поэтому при обработке экспериментальных данных, вероятно, целесообразно /см. также /8/ / аппроксимировать четырехмерное распределение /8/ двумерным, используя вместо четверки величин q_0, q_x, q_y и q_z пару q_0 и q_{\perp}^2 , где q_{\perp} - проекция \vec{q} на плоскость, перпендикулярную к \vec{n} . Эта пара хороша тем, что в простейшем случае сферически-симметричного распределения именно она входит в формулы /2/, /5/, /7/ и /8/. Кроме того, при равномерном распределении по фазовому объему как раз в переменных (q_0, q_{\perp}^2) плотность распределения оказывается конечной в точке $(0,0)$, в окрестности которой расположен интерференционный максимум.

§2. Пространственно-временные корреляции

1. В предыдущем параграфе говорилось о трех типах временных параметров: τ, T и t^L . Если любой из них становится очень большим, возможность измерения размеров излучающей системы практически исчезает, по-

скольку интерференционный эффект остается только в ненаблюдаемо малой области значений q_0 . С другой стороны, в астрономии с помощью наблюдения двухфотонных интерференционных корреляций удается определять угловые размеры звезд ^{/6,7/} несмотря на то, что время их жизни /совпадающее по смыслу с величиной T / можно считать бесконечно большим. И все же здесь нет никакого противоречия с выводами об исчезновении интерференции, вытекающими из соотношений типа формулы /8/.

Дело в том, что в физике элементарных частиц и в астрономии речь идет о разных методах наблюдения интерференционных корреляций тождественных частиц. В идейном отношении эти методы очень близки друг к другу: в обоих случаях регистрируются пары тождественных частиц и определяются размеры соответствующих источников. Но в первом методе измеряются энергия и импульс детектируемых частиц, а во втором - момент их попадания в детектор и координата детектора. Соответственно мы будем говорить об импульсно-энергетической и о пространственно-временной постановке опыта*. Мы также покажем, что при принятом в астрономии пространственно-временном варианте интерференционного опыта, в отличие от изложенного выше импульсно-энергетического варианта, временные параметры t^L и T полностью выпадают. Вместо них появляется другой временной параметр, аналогичный по своему смыслу величине τ , а именно: интервал корреляции, или время коррелированного испускания регистрируемых частиц.

2. Рассмотрим кратко принципиальные основы теории пространственно-временного эксперимента. Пусть имеются два возбужденных атома, расположенных в точках

*В физике элементарных частиц для определения импульса также требуется знание координат каких-то детекторов. Однако точность их пространственной локализации всегда на много порядков хуже той границы, которая вытекает из соотношения неопределенности $\Delta x \cdot \Delta p \sim 1$. Следовательно, обсуждаемая в этом случае постановка опыта относится по своему характеру к импульсно-энергетическому типу.

1 и 2. Испущенные ими фотоны регистрируются детекторами 3 и 4 в моменты времени t_3 и t_4 /рис. 1/.

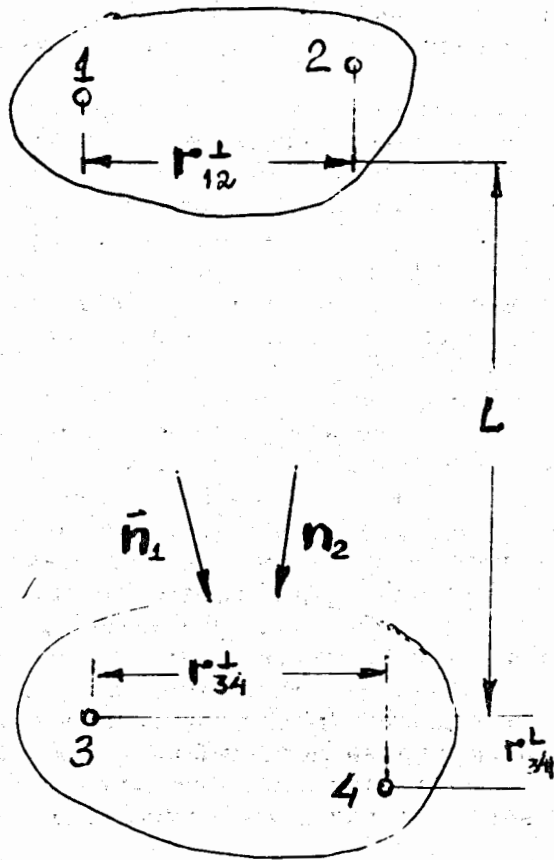


Рис. 1. Схема расположения источников и детекторов частиц.

Излучение атомов пусть задается токами, изменяющимися во времени по законам

$$g_1(t) e^{-i\omega_1 t} \quad \text{и} \quad g_2(t) e^{-i\omega_2 t},$$

где функции $g_1(t)$ и $g_2(t)$ медленно изменяются по

сравнению с экспонентами. Для определенности можно было бы, например, считать их функциями типа

$$\sum_{\ell} \Theta(t-t_{\ell}) A_{\ell} e^{i\delta_{\ell} - \frac{t-t_{\ell}}{2\tau}},$$

где /см., например, /10// амплитуды A_{ℓ} и фазы δ_{ℓ} - случайные величины, моменты t_{ℓ} , входящие в аргументы Θ - функций, распределены во времени по закону Пуассона, а $\tau \gg \omega_1^{-1}, \omega_2^{-1}$. Введем также две функции корреляции*

$$\lambda_j(\theta) = \langle g_j(t) g_j^*(t+\theta) \rangle,$$

удовлетворяющие равенства $\lambda_j(-\theta) = \lambda_j^*(\theta)$.

Амплитуду двойного отсчета в моменты t_3 и t_4 можно с точностью до несущественного общего множителя записать в виде

$$A = g_1(t_3 - r_{13}) e^{-i\omega_1 t_3 + i\omega_1 r_{13}} g_2(t_4 - r_{24}) e^{-i\omega_2 t_4 + i\omega_2 r_{24}} + \\ + g_1(t_4 - r_{14}) e^{-i\omega_1 t_4 + i\omega_1 r_{14}} g_2(t_3 - r_{23}) e^{-i\omega_2 t_3 + i\omega_2 r_{23}}, \quad /9/$$

где символами r_{13}, r_{24} и т.д. обозначены расстояния между точками 1 и 3, 2 и 4 и т.п. Вычисляя вероятность двойного отсчета, учтем, что расстояния от источников до приемников много больше расстояний между источниками или между приемниками. В этих условиях

$$r_{13} - r_{14} = (\vec{r}_4 - \vec{r}_3) \vec{n}_1 = r_{34} \vec{n}_1,$$

где \vec{n}_1 - направление от источника 1 на приемники; аналогично $r_{23} - r_{24} = r_{34} \vec{n}_2$. Обозначая еще $t_3 - t_4 = \theta$, $\omega_1 \vec{n}_1 = \vec{k}_1$ и $\omega_2 \vec{n}_2 = \vec{k}_2$, получим

* Строго говоря, функция корреляции равна

$$\langle g_j(t) g_j^*(t+\theta) \rangle - |\langle g_j(t) \rangle|^2,$$

но мы предполагаем, что $\langle g_j(t) \rangle = 0$, так как $\langle A_j \rangle = 0$.

$$|A|^2 = |g_1(t_3 - r_{13}) g_2(t_4 - r_{24})|^2 + |g_1(t_4 - r_{14}) g_2(t_3 - r_{23})|^2 +$$

$$+ g_1(t_3 - r_{13}) g_1^*(t_4 - r_{14}) g_2(t_4 - r_{24}) g_2^*(t_3 - r_{23}) \times$$

$$\times \exp(-i\omega_1 \theta + i\vec{k}_1 \vec{r}_{34}) \exp(i\omega_2 \theta - i\vec{k}_2 \vec{r}_{34}) + \text{к. с.}$$

Введем обозначения $T_1 = \vec{r}_{34} \vec{n}_1$, $T_2 = \vec{r}_{34} \vec{n}_2$ и проведем усреднение величины $|A|^2$ по моментам регистрации частиц t_3 и t_4 при фиксированном значении $\theta = t_3 - t_4$. Тогда получим

$$\langle |A|^2 \rangle = 2\lambda_1(0)\lambda_2(0) + \lambda_1^*(\theta - T_1)\lambda_2(\theta - T_2) e^{-i(\omega_1 - \omega_2)\theta + i(\vec{k}_1 - \vec{k}_2)\vec{r}_{34}} + \text{к. с.}$$

Если считать функции $\lambda_1(\theta)$ и $\lambda_2(\theta)$ совпадающими, то последнее соотношение принимает более простую форму:

$$\langle |A|^2 \rangle = 2\lambda^2(0) + \lambda^*(\theta - T_1)\lambda(\theta - T_2) e^{-i(\omega_1 - \omega_2)\theta + i(\vec{k}_1 - \vec{k}_2)\vec{r}_{34}} + \text{к. с.} \quad /10/$$

Разность аргументов $(\theta - T_2) - (\theta - T_1) = T_1 - T_2 = \vec{r}_{34}(\vec{n}_1 - \vec{n}_2)$; ее можно переписать в виде $T_1 - T_2 = \vec{r}_{34}^\perp \vec{r}_{12}^\perp / L$, где \vec{r}_{34}^\perp и \vec{r}_{12}^\perp - проекции \vec{r}_{34} и \vec{r}_{12} на плоскость, перпендикулярную направлению наблюдения, а L - расстояние между областями, в которых расположены источники и детекторы /см. рис. 1/. Сходный член входит и в показатель экспоненты:

$$(\vec{k}_1 - \vec{k}_2) \vec{r}_{34} = \frac{\vec{r}_{34}^\perp \cdot \vec{r}_{12}^\perp}{L} \omega + (\omega_1 - \omega_2) r_{34}^L, \quad /11/$$

где $\omega = (\omega_1 + \omega_2)/2$, а r_{34}^L - продольная компонента \vec{r}_{34} . Таким образом, расстояние между источниками r_{12} входит в /10/ только в виде проекции на плоскость,

перпендикулярную лучу зрения $\vec{n} \sim \vec{n}_1 + \vec{n}_2$. Следовательно, продольные размеры источника нельзя определить с помощью опытов, основанных на использовании соотношения /10/. Заметим также, что, в отличие от продольных размеров источника, формула /10/ содержит продольные характеристики приемника /величины r_{34}^L , T_1 и T_2 /.

Интересно сопоставить структуру аргументов быстро изменяющихся множителей выражений /1/ и /10/, соответствующих импульсно-энергетическому и пространственно-временному подходам.

В импульсно-энергетическом варианте опыта в аргумент экспоненты входит фаза

$$a = (\vec{k}_3 - \vec{k}_4) (\vec{r}_1 - \vec{r}_2) - (\omega_3 - \omega_4) (t_1 - t_2). \quad /12/$$

В ней импульсы и энергии определяются свойствами детекторов, а координаты и моменты времени относятся к источникам. В пространственно-временном эксперименте в аргументе экспоненты стоит фаза

$$\beta = (\vec{k}_1 - \vec{k}_2) (\vec{r}_3 - \vec{r}_4) - (\omega_1 - \omega_2) (t_3 - t_4). \quad /12'/$$

Теперь импульсы и энергии определяются свойствами источников, а координаты и моменты времени относятся к детекторам. Источники и детекторы поменялись местами! В том приближении, в котором первый член /12'/ переходит в /11/, фазу a в /12/ можно записать в виде

$$a = \vec{r}_{34}^\perp \vec{r}_{12}^\perp \frac{\omega}{L} - (\omega_3 - \omega_4) (t_1 - t_2 - r_{12}^L). \quad /11'/$$

Следовательно, в импульсно-энергетическом варианте опыта в формулы входят продольные размеры источника, зато продольные размеры области, занятой приемниками, безразличны.

3. Вернемся к формуле /10/. Входящие в нее корреляционные функции $\lambda(\theta - T_1)$ и $\lambda(\theta - T_2)$ обращаются в нуль при достаточно больших значениях аргументов.

В реальных условиях эти значения обычно оказываются очень большими по сравнению с величиной $(T_1 - T_2)$. Поэтому в дальнейшем можно считать $T_1 = T_2 = \bar{T}$ и вместо /10/ писать

$$\langle |A|^2 \rangle \approx 1 + \left| \frac{\lambda(\theta - \bar{T})}{\lambda(0)} \right|^2 \cos[(\omega_1 - \omega_2)(\theta - \bar{T}) - \frac{\omega}{L} \vec{r}_{34}^{\perp} \vec{r}_{12}^{\perp}]. \quad /13/$$

Полученная формула относится к испусканию фотонов двумя элементарными источниками. Пусть теперь этих источников очень много и они распределены равномерно по поверхности круглого диска радиуса R, перпендикулярного к направлению наблюдения /или по поверхности шара, светящейся в соответствии с законом Ламберта/. Тогда надо проинтегрировать /13/ по поверхности диска, что приводит к выражению

$$\langle |A|^2 \rangle \approx 1 + \left| \frac{\lambda(\theta - \bar{T})}{\lambda(0)} \right|^2 \left(\frac{2J_1(\rho)}{\rho} \right)^2 \cos[(\omega_1 - \omega_2)(\theta - \bar{T})], \quad /14/$$

в котором аргумент функции Бесселя

$$\rho = \omega \left| \vec{r}_{34}^{\perp} \right| \phi \quad /15/$$

связан с угловым радиусом звезды ϕ . Если диск имеет форму эллипса с полуосями A и B, то аргумент ρ выражается через проекции \vec{r}_{34}^{\perp} на эти оси / r_{34}^A и r_{34}^B /,

$$\rho = \frac{\omega}{L} \sqrt{(r_{34}^A A)^2 + (r_{34}^B B)^2} = \frac{\omega}{L} r_{34}^{\perp} \sqrt{A^2 \cos^2 \Phi + B^2 \sin^2 \Phi} = \frac{\omega}{L} r_{34}^{\perp} \cdot KO,$$

а смысл расстояния KO ясен из рис. 2. Вращая плоскость детекторов, можно в принципе определить оси эллипса. Если детекторы выделяют некоторую полосу частот от $\omega - \Delta\omega/2$ до $\omega + \Delta\omega/2$, то /14/ надо проинтегрировать по ω_1 и ω_2 . Тогда получим

$$\langle |A|^2 \rangle \approx 1 + \left| \frac{\lambda(\theta - \bar{T})}{\lambda(0)} \right|^2 \left[\frac{2J_1(\rho)}{\rho} \frac{\sin \frac{\Delta\omega}{2} (\theta - \bar{T})}{\frac{\Delta\omega}{2} (\theta - \bar{T})} \right]^2. \quad /16/$$

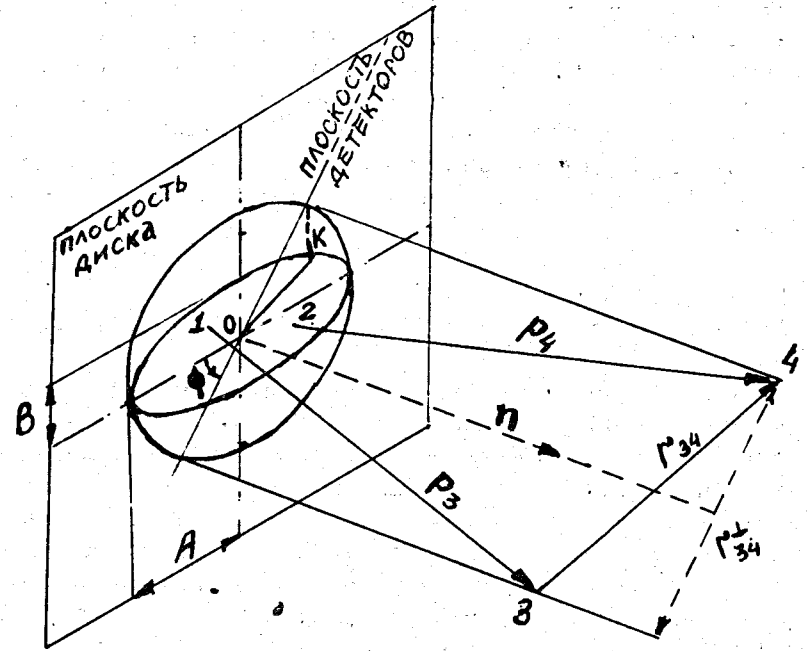


Рис. 2. Схема опыта. Плоскость детекторов проходит через точки O, 3, 4. Эллиптический диск получается сжатием круглого. При этом точка пересечения плоскости детекторов с окружностью переходит в точку K.

Формулы /13/ и /16/ обосновывают принципиальную возможность определения угловых размеров звезды и времени корреляции элементарных источников в пространственно-временном варианте интерференционного опыта. Варьируя с помощью радиотехнических задержек величину θ , можно обратить в нуль аргумент $\theta - \bar{T}$, после чего /13/ и /16/ переходят в

$$\langle |A|^2 \rangle_{\theta = \bar{\theta}} \approx 1 + \left[\frac{2J_1(\rho)}{\rho} \right]^2. \quad /17/$$

Последующая вариация параметра ρ позволяет измерить угловой радиус ϕ . С другой стороны, измерение зависимости величины $\langle |A|^2 \rangle$ от задержки θ при фиксированном значении ρ дает возможность выяснить структуру функции корреляции $\lambda(\theta)$ и определить длительность времени корреляции. Следует, впрочем, отметить, что в астрономии последней величиной фактически не интересуются.

§3. Синтез двух типов интерференционных корреляций

Выше рассмотрены два различных варианта корреляционного эксперимента: импульсно-энергетический и пространственно-временной. Покажем, что, в принципе, возможен и единый, более общий подход, который в одном предельном случае реализует пространственно-временной вариант, в другом - импульсно-энергетический.

Предположим, что возбужденные атомы, расположенные в точках 1 и 2, имеют одинаковую естественную ширину Γ . В точках 3 и 4 пусть находятся одинаковые резонансные рассеиватели с естественной шириной γ . Вблизи тех же точек помещена пара счетчиков, причем каждый из счетчиков регистрирует момент попадания фотона, рассеянного только "своим" рассеивателем. Тогда характер интерференционных явлений, возникающих в такой установке, зависит от величины отношения γ/Γ : при $\gamma/\Gamma \gg 1$ реализуется пространственно-временной вариант, при $\gamma/\Gamma \ll 1$ - импульсно-энергетический.

Рассчитаем вероятность срабатывания счетчиков 3 и 4 в моменты времени t_3 и t_4 , предполагая для простоты, что оба атома 1 и 2 возбуждены одновременно при $t = 0$. Амплитуда испускания атомом 1 фотона с частотой ω пропорциональна величине

$$\frac{\Gamma}{\omega - \omega_1 + i\Gamma/2};$$

амплитуда рассеяния такого фотона рассеивателем 3 пропорциональна $\frac{\gamma}{\omega - \omega_3 + i\gamma/2}$; амплитуда срабатывания счетчика 3 в момент t_3 пропорциональна произведению двух этих дробей и содержит еще множитель $\exp[-i\omega(t_3 - r_{13})]$, учитывающий запаздывание при распространении поля от точки 1 до точки 3. Аналогичным образом строится и амплитуда срабатывания счетчика 4 от фотона частоты Ω , испущенного атомом 2. В итоге мы приходим к выражению

$$A'(\omega, \Omega) = \frac{\Gamma\gamma \exp[-i\omega(t_3 - r_{13})]}{(\omega - \omega_1 + i\Gamma/2)(\omega - \omega_3 + i\gamma/2)} \cdot \frac{\Gamma\gamma \exp[-i\Omega(t_4 - r_{24})]}{(\Omega - \omega_2 + i\Gamma/2)(\Omega - \omega_4 + i\gamma/2)}.$$

К нему надо добавить сходное выражение

$$A''(\omega, \Omega) = \frac{\Gamma\gamma \exp[-i\omega(t_3 - r_{23})]}{(\omega - \omega_2 + i\Gamma/2)(\omega - \omega_3 + i\gamma/2)} \cdot \frac{\Gamma\gamma \exp[-i\Omega(t_4 - r_{14})]}{(\Omega - \omega_1 + i\Gamma/2)(\Omega - \omega_4 + i\gamma/2)},$$

соответствующее излучению частоты ω атомом 2, а частоты Ω - атомом 1. Поскольку моменты срабатывания счетчиков точно фиксированы, частоты ω и Ω оказываются полностью неопределенными. Поэтому полученную сумму следует еще проинтегрировать по ω и Ω . Тогда получаем окончательное выражение

$$A(t_3, t_4) = \int d\omega d\Omega [A'(\omega, \Omega) + A''(\omega, \Omega)]. \quad /18/$$

После интегрирования получаем

$$A(t_3, t_4) = F_{13}F_{24} + F_{14} \cdot F_{23}, \quad /19/$$

где

$$F_{jk} = \gamma\Gamma \frac{\exp[-i(\omega_j - i\Gamma/2)(t_k - r_{jk})] - \exp[-i(\omega_k - i\gamma/2)(t_k - r_{jk})]}{\omega_j - \omega_k - i(\Gamma - \gamma)/2} \times \Theta(t_k - r_{jk}). \quad /20/$$

Интересующая нас вероятность срабатывания счетчиков

$$W(t_3, t_4) = |A(t_3, t_4)|^2,$$

то есть

$$W(t_3, t_4) = |F_{13} F_{24} + F_{14} F_{23}|^2. \quad /21/$$

Дальнейшая задача состоит в выяснении предельного поведения вероятности $W(t_3, t_4)$ при $\gamma/\Gamma \rightarrow 0$ и при $\gamma/\Gamma \rightarrow \infty$. В первом случае частота рассеиваемых фотонов фактически совпадает с собственными частотами рассеивателей ω_3 и ω_4 ; можно поэтому ожидать реализации импульсно-энергетического варианта, при котором фиксируются частоты фотонов, а зависимость от t_3 и t_4 исчезает. Наоборот, при $\gamma/\Gamma \rightarrow \infty$ рассеивание не оказывает никакого влияния на частоту рассеиваемых фотонов, "работают" фактически лишь счетчики, отмечаящие моменты регистрации. В этих условиях естественно ожидать реализации пространственно-временного варианта.

Действительно, когда ширина Γ фиксирована, а отношение $\gamma/\Gamma \rightarrow \infty$, вторые экспоненты в числителе выражения /20/ исчезают, а дробь $\gamma/[\omega_j - \omega_k - i(\Gamma - \gamma)/2] \rightarrow -2i$. Поэтому амплитуда принимает вид

$$A(t_3, t_4) \approx \exp[-(i\omega_1 + \Gamma/2)(t_3 - r_{13})] \exp[-(i\omega_2 + \Gamma/2)(t_4 - r_{24})] \times$$

$$\times \Theta(t_3 - r_{13}) \Theta(t_4 - r_{24}) +$$

$$+ \exp[-(i\omega_1 + \Gamma/2)(t_4 - r_{14})] \exp[-(i\omega_2 + \Gamma/2)(t_3 - r_{23})] \times$$

$$\times \Theta(t_4 - r_{14}) \Theta(t_3 - r_{23}),$$

совпадающий с /9/, поскольку в рассматриваемой задаче токи g_1 и g_2 с точностью до постоянного множителя равны $\exp(-\Gamma t/2) \Theta(t)$.

Пусть теперь при фиксированной ширине Γ отношение $\gamma/\Gamma \rightarrow 0$, т.е. $\gamma \rightarrow 0$. Тогда практически для всех значений t_3 и t_4 в числителях выражения /20/ можно пренебречь первыми экспонентами. Поэтому амплитуда

$$A(t_3, t_4) \approx \frac{\exp[-i\omega_3(t_3 - r_{13})] \exp[-i\omega_4(t_4 - r_{14})]}{(\omega_1 - \omega_3 - i\Gamma/2)(\omega_2 - \omega_4 - i\Gamma/2)} \Theta(t_3 - r_{13}) \Theta(t_4 - r_{14}) +$$

$$+ \frac{\exp[-i\omega_4(t_4 - r_{14})] \exp[-i\omega_3(t_3 - r_{13})]}{(\omega_1 - \omega_4 - i\Gamma/2)(\omega_2 - \omega_3 - i\Gamma/2)} \Theta(t_4 - r_{14}) \Theta(t_3 - r_{23})$$

содержит общий множитель $\exp(-i\omega_3 t_3 - i\omega_4 t_4)$, выпадающий из выражения для вероятности $W(t_3, t_4)$. Последнее имеет вид

$$W \sim \left| \frac{\exp(i\omega_3 r_{13} + i\omega_4 r_{24})}{(\omega_1 - \omega_3 - i\Gamma/2)(\omega_1 - \omega_4 - i\Gamma/2)} \Theta(t_3 - r_{13}) \Theta(t_4 - r_{24}) + \right.$$

/22/

$$\left. + \frac{\exp(i\omega_4 r_{14} + i\omega_3 r_{23})}{(\omega_1 - \omega_4 - i\Gamma/2)(\omega_2 - \omega_3 - i\Gamma/2)} \Theta(t_3 - r_{23}) \Theta(t_4 - r_{14}) \right|^2.$$

При достаточно длительном наблюдении /возможность которого обеспечивается условием $\gamma \rightarrow 0$ / аргументы Θ -функций становятся положительными, сами Θ -функции выпадают и /22/ переходит в

$$W \sim \left| \frac{e^{i(\omega_3 r_{14} + \omega_4 r_{24})}}{(\omega_1 - \omega_3 - i\Gamma/2)(\omega_2 - \omega_4 - i\Gamma/2)} + \frac{e^{i(\omega_4 r_{14} + \omega_3 r_{23})}}{(\omega_1 - \omega_4 - i\Gamma/2)(\omega_2 - \omega_3 - i\Gamma/2)} \right|^2,$$

т.е. возникает формула, описывающая импульсно-энергетический вариант интерференционного опыта /при сопоставлении с /1/ надо учесть, что сейчас $t_1 = t_2$ /.

Проведенные рассуждения показывают, что пространственно-временные и импульсно-энергетические

интерференционные двухчастичные корреляции действительно имеют единую природу и являются всего лишь различными предельными случаями более общего физического явления. Заметим, что это заключение не связано с конкретными особенностями избранной нами модели рассеивателей с варьируемой шириной γ . К тому же результату мы пришли бы, если бы в точках 3 и 4 находились любые другие частотные фильтры, настроенные на частоты ω_3 и ω_4 и обладающие варьируемой шириной полосы пропускания.

Авторы благодарны В.Л.Любошицу за важные замечания.

Литература

1. Г.И.Копылов, М.И.Подгорецкий. ЯФ, 15, 392 /1972/.
2. Г.И.Копылов, М.И.Подгорецкий. ЯФ, 18, 656 /1973/.
3. Г.И.Копылов, М.И.Подгорецкий. ЯФ, 19, 434 /1974/.
4. E. V. Shuryak. Phys. Lett., 44B, 387 (1973).
5. G. Cocconi. Phys. Lett., 49B, 459 (1974).
6. В.И.Слыш. УФН, 87, 471 /1965/.
7. Р.Хэнбери-Браун. УФН, 108, 529 /1972/.
8. G. I. Kopylov. Phys. Lett., 50B, 472 (1974).
9. В.Гайтлер. Квантовая теория излучения. ИЛ., М., 1956, гл. 5.
10. С.М.Рытов. Введение в статистическую радиофизику. М., Наука, 1966, стр. 43.

Рукопись поступила в издательский отдел
7 января 1975 года.

Копылов Г.И., Подгорецкий М.И.

P2 - 8512

Интерференция двухчастичных состояний в физике элементарных частиц и в астрономии

Проведено сравнение двух вариантов опыта по наблюдению интерференции двухчастичных состояний тождественных частиц.

Препринт Объединенного института ядерных исследований
Дубна 1975

Kopylov G.I., Podgoretsky M.I.

P2 - 8512

The Interference of Two-Particle States in
Particle Physics and Astronomy

See the Summary on the reverse side of the title-page.

Preprint of the Joint Institute for Nuclear Research
Dubna 1975